

## СЕЧЕНИЕ ВОЗБУЖДЕНИЯ $\text{Ne}(4s^1P_1, ^3P_0)$ ПРИ ТЕПЛОВЫХ СТОЛКНОВЕНИЯХ $\text{Ne}(2^3S) + \text{Ne}$

А. К. Беляев и А. Э. Девдариани

По методу, предложенному в работе авторов (Опт. и спектр., 45, 448, 1978), на основе экспериментальных данных по температурной зависимости константы скорости для реакции, указанной в заглавии, установлено, что термы квазимолекулы в области пересечения носят отталкивательный характер, координаты пересечения  $U_0 = 0.051$  эВ,  $R_0 \approx 3 \text{ \AA}$ , матричный элемент взаимодействия  $V_{12} = 2 \cdot 10^{-3}$  эВ. Восстановлена энергетическая зависимость сечения.

Как отмечается в работе [1], исследование температурной зависимости константы скорости  $K(T)$  дает возможность при определенных предположениях определить параметры взаимодействия участвующих в реакции квазимолекулярных термов и восстановить энергетическую зависимость сечения  $\sigma(E)$ .

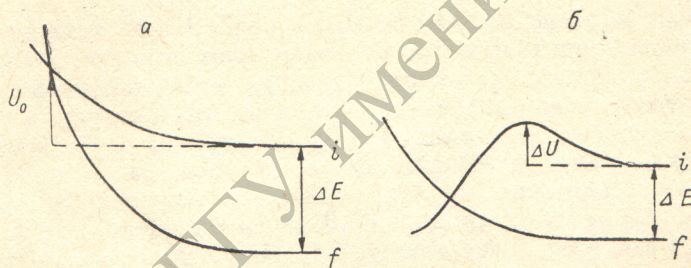
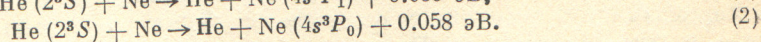
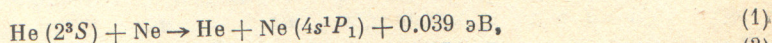


Рис. 1. Предполагаемые картины термов реакции.

*a* — реакция связана с пересечением термов, отвечающих отталкиванию атомов, *б* — реакция связана с пересечением термов, отвечающих притяжению атомов, с максимумом на исходном терме.

Такая программа реализована в работе [2] по экспериментальным данным для  $K(T)$  реакции  $\text{Ne}(2^1S) + \text{Ne} \rightarrow \text{He} + \text{Ne}(5s^1P_1)$ . С точки зрения детального исследования процессов в гелий-неоновом лазере также представляют интерес реакции



В работе [3] приводятся четыре экспериментальных значения для суммарной константы скорости реакций (1), (2) в температурном интервале 77—400 К и отмечается, что экспериментальные данные хорошо аппроксимируются зависимостью

$$K(T) = K_0 \exp\left(-\frac{U}{kT}\right), \quad (3)$$

с  $K_0 = 3.3 \cdot 10^{-11} \text{ см}^3/\text{с}$ ,  $U = 0.051$  эВ. В этой же работе указывается, что такая температурная зависимость  $K(T)$  возможна либо при пересечении отталкивательных термов (рис. 1, *a*), либо при наличии максимума на исходном терме  $\text{Ne}(2^3S) + \text{Ne}$  (рис. 1, *б*), причем зависимость (3) должна рассматриваться как приближенная. Суммарная константа скорости реакций (1), (2) также измерялась и в работах [4, 5], правда, для более узкого температурного интервала. Результаты показаны на рис. 2.

Как и в работе [2], определим сначала характер поведения термов в области взаимодействия по температурной зависимости  $K(T)$ , заменяя в соответствии с экспериментальными данными энергетически близкие при больших расстояниях термы  $\text{Ne}(4s^1P_1)$  и  $\text{Ne}(4s^3P_0)$  одним. В работе [6] проводилось исследование сечения и константы скорости для моделей Демкова, а также для более общей модели Никитина. Из результатов этой работы видно, что зависимости сечения при низких энергиях и константы скорости при низких температурах  $T^* = kT/\xi^2 < 1$ , ( $\xi$  — параметр модели) в моделях Демкова и Никитина остаются такими же, как в модели Ландау—Зинера, отличие начинает сказываться при больших энергиях и температурах ( $T^* > 1$ ). Для случая отталкивательных термов (рис. 1, а) выражение для константы скорости в предположении неадиабатического перехода имеет вид

$$K_{fi}(T) = p_i \bar{v} \pi R_0^2 \langle P \rangle \exp\left(-\frac{U_0}{kT}\right), \quad (4)$$

где  $\bar{v} = \sqrt{8kT/\pi\mu}$ ,  $\mu$  — приведенная масса,  $\langle P \rangle$  — усредненная по максвелловскому распределению вероятность перехода,  $p_i$  — статистический множитель,  $R_0$  — координата центра области неадиабатичности,  $U_0$  — средняя потенциальная энергия при  $R = R_0$ . Характерный параметр для модели Ландау—Зинера  $\xi = \sqrt{\mu/2} 2\pi V_{12}^2 / |\Delta F|$ , для модели Демкова  $\xi = \sqrt{\mu/2} \pi \Delta E / 2\alpha$ .

Для усредненной вероятности  $\langle P \rangle$  при низких температурах  $T^* < 1$  справедливо асимптотическое выражение

$$\langle P \rangle = 4 \sqrt{\frac{\pi}{3}} \frac{1}{T^{*1/6}} \frac{1}{2^{1/3}} \exp\left(-\frac{3}{2^{2/3} T^{*1/3}}\right). \quad (5)$$

В зависимости от того, какой член в экспоненте в формуле (4) является главным, получим, что температурная зависимость  $K(T)$  в случае, изображенном на рис. 1, а, описывается формулами

$$K_{fi}(T) = K_1 (kT)^{1/3} \exp\left(-\frac{U_0}{kT}\right) \quad (6)$$

или

$$K_{fi}(T) = K_1 (kT)^{1/3} \exp\left(-\frac{3}{2^{2/3} T^{*1/3}}\right), \quad (7)$$

где  $K_1$  — независимый от температуры множитель.

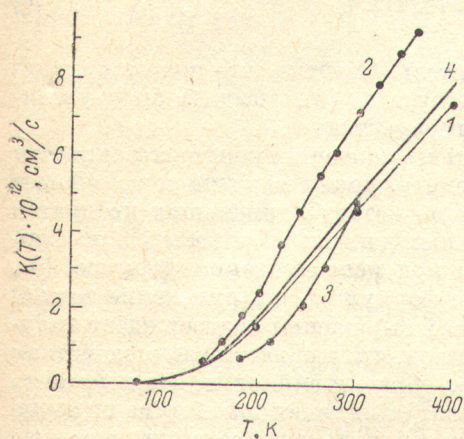


Рис. 2. Температурные зависимости суммарной константы скорости реакций (1), (2).

Кривая 1 — по данным работы [3], кривая 2 — по данным работы [4], кривая 3 — по данным работы [5], кривая 4 — средняя константа скорости по формуле (3) с  $U_0 = 0.051$  эВ,  $K_0 = 3.5 \cdot 10^{-11}$  см<sup>3</sup>/с.

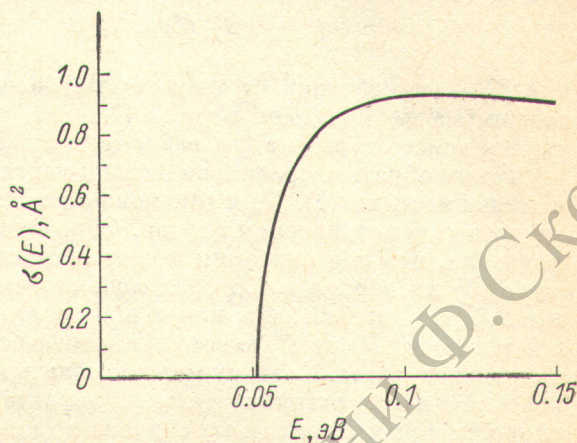


Рис. 3. Суммарное сечение реакций (1), (2) при  $U_0 = 0.051$  эВ,  $R_0 = 3.3$  Å,  $\xi = 3.4 \cdot 10^{-3}$  эВ<sup>1/2</sup>.

Если на терме исходного состояния имеется максимум (рис. 1, б),<sup>1</sup> то выражение для  $K(T)$  имеет вид

$$K_{fi}(T) = p_i \bar{v} \pi R_0^2 \left[ \frac{\Delta U}{kT} \frac{\sigma_{fi}(\Delta U)}{\pi R_0^2} + \langle P \rangle e^{\frac{\Delta U - U_0}{kT}} \right] e^{-\frac{\Delta U}{kT}}, \quad (8)$$

где  $\sigma_{fi}(\Delta U)$  — величина сечения в пороге реакции, а  $\langle P \rangle$  — определяется формулой (5) из работы [1].

При низких температурах  $\Delta E/kT > 1$  главным в формуле (8) является первый член, поэтому  $K(T)$  описывается формулой

$$K_{fi}(T) = K_2 (kT)^{-1/2} \exp\left(-\frac{\Delta U}{kT}\right), \quad (9)$$

где  $K_2$  — независящий от температуры множитель. Отметим, что при отсутствии максимума на исходном терме  $K(T)$ , как следует из (8), убывала бы с увеличением температуры, что не наблюдается экспериментально.

Таким образом, сравнивая экспериментальные значения константы скорости с зависимостями (6), (7) и (9), можно установить, какая картина термов имеет место в рассматриваемом случае. Обработка по методу наименьших квадратов показала, что при описании экспериментальных данных из работы [3] по формуле (6) дисперсия в 1.8 раза меньше, чем при использовании формулы (9), и в 2.6 раза меньше, чем при использовании формулы (7). Применение точной зависимости  $\langle P \rangle$  от  $T^*$  вместо асимптотических выражений подтверждает полученный результат. Поэтому можно сделать вывод, что в области взаимодействия оба терма имеют отталкивательный характер. Обратим внимание, что константа скорости в рассматриваемых случаях не зависит от наличия максимума на терме конечного состояния и от максимума на терме начального состояния в случае отталкивательных термов, если высота максимума меньше  $U_0$ .

Терм исходного состояния  $\text{He}(2^3S) + \text{Ne}$  вычислен в работах [6, 7], а также восстановлен из экспериментальных данных по упругому рассеянию в работе [8], причем результаты хорошо согласуются и соответствуют также полученному в настоящей работе выводу об отталкивательном характере исходного терма.

Используя результаты работ [6-8] и экспериментальные данные по  $K(T)$  из работы [3], можно определить параметры взаимодействия. Из сравнения формулы (6) по данным по  $K(T)$  определяем, что  $U_0 = 0.045$  эВ, откуда  $R_0 \approx 2.9$  Å, при этом получается  $\xi \approx 1.6 \cdot 10^{-7}$  эВ<sup>1/2</sup>. Столь малое значение  $\xi$  приводит к тому, что  $T^* \gg 1$ , и поэтому асимптотическое выражение (5) становится несправедливым. Для модели Демкова при этом условии выполняется  $\langle P \rangle = 1/2$ , откуда

$$K_{fi}(T) = \frac{1}{2} p_i \pi R_0^2 \bar{v} \exp\left(-\frac{U_0}{kT}\right). \quad (10)$$

Сравнение этой зависимости с экспериментальными данными по константе скорости приводит к нереально малому значению  $R_0 = 1.7$  Å при  $U_0 \approx 0.06$  эВ, что противоречит результатам работ [6-8]. Поэтому более предпочтительным представляется использование модели Ландау—Зинера. В рамках этой модели в исследуемом диапазоне температур параметр  $T^*$  находится в области III [1], в которой

$$\langle P \rangle = 2 \sqrt{\frac{\pi}{T^*}} - \frac{3}{T^*} \ln(T^*). \quad (11)$$

Ограничиваясь первым членом, получим

$$K_{fi}(T) = p_i \pi R_0^2 \xi 2 \sqrt{\frac{8}{\mu}} \exp\left(-\frac{U_0}{kT}\right), \quad (12)$$

что совпадает с эмпирически установленной зависимостью (3), где  $U_0 = U = 0.051$  эВ,  $\xi R_0^2 = K_0/p_i \pi 2 \sqrt{8/\mu} = 3.5 \cdot 10^{-2}$  эВ<sup>1/2</sup>·Å<sup>2</sup>. Использование всех экспе-

<sup>1</sup> Авторы благодарны Р. А. Житникову, который указал на необходимость анализа зависимости  $K_{fi}(T)$  в случае барьера на терме исходного состояния.

риментальных данных по константе скорости [<sup>3-5</sup>] приводит к сохранению зависимости (3) с тем же значением  $U_0=0.051$  эВ и несколько другим значением  $K_0=3.5 \cdot 10^{-11}$  см<sup>3</sup>/с, при этом  $\xi R_0^2=3.7 \cdot 10^{-2}$  эВ<sup>1/2</sup>·Å<sup>2</sup>. Полученная температурная зависимость константы скорости приведена на рис. 2 (кривая 4). По известному значению  $U_0$  уточняем, что  $R_0=2.8$  Å,  $\xi=4.8 \cdot 10^{-3}$  эВ<sup>1/2</sup>, если использовать результаты работы [7], и  $R_0=3.3$  Å,  $\xi=3.4 \cdot 10^{-3}$  эВ<sup>1/2</sup> с использованием терма из [7]. При этом матричный элемент взаимодействия  $V_{12} \approx 2 \cdot 10^{-3}$  эВ. Из условия применимости формулы (11) следует, что  $K(T)$  описывается выражением (12) во всем исследуемом интервале температур. При температурах порядка или больше 1000 К начнет сказываться возбуждение более высоких уровней из группы Ne( $2p^5 3d$ ).

Наконец, по известным параметрам  $R_0$ ,  $U_0$  и  $\xi$  можно построить сечение возбуждений уровней Ne( $4s^1 P_1$ ,  $^3 P_0$ ) в рамках модели Ландау—Зинера

$$\sigma(E) = 4\pi R_0^2 p_i \left(1 - \frac{U_0}{E}\right) I(\eta), \quad \eta = \frac{\xi}{\sqrt{E - U_0}}, \quad (13)$$

где функция  $I(\eta)$  табулирована в работе [9]. Результат приведен на рис. 3. Отметим, что вариация  $R_0$ , которая связана с различием потенциалов в работах [6, 7], не влияет на величину сечения в масштабе рис. 3. Резкое возрастание сечения в припороговой области связано с малостью характерного параметра  $\xi$ . При больших энергиях сечение имеет широкий максимум  $\sigma=0.935$  Å<sup>2</sup>,  $E=0.11$  эВ.

Выражения для сечения и константы скорости в работах [1] приводятся для случая, когда подбарьерными переходами можно пренебречь. Исследуемый диапазон температур находится на границе применимости квазиклассических представлений, поэтому необходимо оценить вклад подбарьерных переходов. Используя результаты работы [10] и полученные в настоящей работе параметры взаимодействия, можно показать, что вклад туннельных переходов не превышает 5% и квантовыми поправками можно пренебречь.

В заключение заметим, что в выражениях для константы скорости и для сечения не использовалась величина энергетического дефекта  $\Delta E$ , поэтому в данном случае нет возможности из экспериментальных данных определить взаимное расположение термов Ne+Ne( $4s^1 P_1$ ) и Ne+Ne( $4s^3 P_0$ ). Однако это ограничение — замена двух термов одним — не является существенным. При данных параметрах пересечения выражения для суммарного сечения и суммарной константы скорости с учетом расщепления термов имеют тот же вид, что и в двухуровневом приближении.

Таким образом, на основании имеющихся экспериментальных данных по константе скорости реакции (1), (2) можно сделать вывод, что передача возбуждения от Ne( $2^3 S$ ) к Ne( $4s^1 P_1$ ,  $^3 P_0$ ) связана с ландау-зинеровским пересечением в области, где оба терма имеют отталкивательный характер. В рамках модели Ландау—Зинера определены параметры пересечения  $U_0=0.051$  эВ,  $R_0 \approx 3$  Å, матричный элемент взаимодействия  $V_{12} \approx 2 \cdot 10^{-3}$  эВ и восстановлена энергетическая зависимость сечения.

Авторы благодарны Н. П. Пенкину за внимание к работе и полезное обсуждение.

#### Литература

- [1] А. К. Беляев, А. З. Девдариани. Опт. и спектр., 45, 448, 1978.
- [2] А. К. Беляев, А. З. Девдариани, В. А. Костенко, Ю. А. Толмачев. Опт. и спектр., 49, 633, 1980.
- [3] С. R. Jones, F. E. Niles, W. W. Robertson. J. Appl. Phys., 40, 3967, 1969.
- [4] R. Arrathoon. J. Chem. Phys., 60, 1187, 1974.
- [5] Р. А. Житников, В. А. Картошкин, Г. В. Клементьев, В. Д. Мельников. ЖЭТФ, 80, 992, 1981.
- [6] С. H. Chen, H. Haberland, Y. T. Lee. J. Chem. Phys., 61, 3095, 1974.
- [7] P. E. Siska. J. Chem. Phys., 71, 3942, 1979.
- [8] T. Fukugama, P. E. Siska. 11 Int. Conf. Phys. Electr. At. Collisions, Abstracts of Papers, p. 460, Kyoto, 1979.
- [9] V. L. Moiseiwitsch. Meteors. Spec. Suppl. to J. Atm. Terr. Phys., 2, 23, 1955.
- [10] М. Я. Овчинникова. ЖЭТФ, 64, 129, 1973.